

临床研究

microRNA-107在肝癌中的表达及临床意义

肖芦山¹, 邹雪晶¹, 胡威², 刘莉¹南方医科大学南方医院¹肝脏肿瘤中心,²放疗科, 广东 广州 510515

摘要:目的 检测 microRNA-107(miR-107)在肝癌中的表达及意义,并探讨其对肝癌细胞增殖能力的影响。方法 利用公共基因表达数据库(TCGA 数据库和 GEO 数据库)中的肝癌 microRNA 表达谱数据库,分析 miR-107 在肝癌及癌旁的表达水平;收集 22 例肝癌及其相应癌旁新鲜组织标本,qRT-PCR 方法检测 miR-107 的表达水平;收集 53 例石蜡包埋的肝癌组织标本,qRT-PCR 方法检测 miR-107 表达水平并分析其在肝癌中的临床意义。在人肝癌细胞株 Huh7 中过表达或沉默 miR-107,通过 MTT 方法检测其对肝癌细胞增殖能力的影响。结果 miR-107 在肝癌组织中的表达显著高于其在癌旁组织中的表达,差异具有统计学意义($P<0.05$)。在肝癌组织中,miR-107 与肿瘤大小呈正相关关系($P=0.032$)。体外实验结果表明,过表达 miR-107 后肝癌细胞增殖能力明显增强($P<0.0001$),而沉默 miR-107 后细胞增殖能力明显降低($P<0.0001$)。结论 miR-107 在肝癌中表达上调,其高表达与肝癌细胞增殖密切相关,miR-107 可能是一个与肝癌的发生发展相关的基因。

关键词:microRNA-107;肝癌;增殖

Expression of microRNA-107 in hepatocellular carcinoma and its clinical significance

XIAO Lushan¹, ZOU Xuejing¹, HU Wei², LIU Li¹¹Hepatology Unit of Department of Infectious Diseases, ²Department of Radiation Oncology, Nanfang Hospital, Southern Medical University, Guangzhou 510515, China

Abstract: Objective To investigate the expression of microRNA-107 (miR-107) and its functional role in hepatocellular carcinoma (HCC). **Methods** The gene chip data of HCC obtained from the Gene Expression Omnibus (GEO) database and the Cancer Genome Atlas (TCGA) database were used to analyze the expression levels of miR-107 in liver cancer. Twenty-two pairs of fresh surgical specimens of HCC and adjacent tissues and 53 paraffin-embedded specimens of HCC were examined for miR-107 expression by qRT-PCR. The correlation of the expression levels of miR-107 with the clinicopathologic characteristics of the patients were analyzed. The role of miR-107 in regulating the proliferation of hepatocellular carcinoma cells were determined by MTT assay in Huh7 cells transfected with a miR-107 mimic or inhibitor. **Results** The expression levels of miR-107 were significantly up-regulated in HCC tissues as compared to the adjacent tissues ($P<0.05$) in positive correlation with the tumor size ($P<0.032$). Transfection with miR-107 mimics significantly promoted the cell proliferation ($P<0.0001$) while miR-107 inhibitor inhibited the cell proliferation ($P<0.0001$). **Conclusion** The expression of miR-107 is up-regulated in HCC tissues and its expression levels are correlated with HCC cell proliferation, suggesting its role as a potential oncogene in liver cancer.

Key words: microRNA-107; hepatocellular carcinoma; proliferation

肝细胞性肝癌(下称肝癌)是我国常见的恶性肿瘤之一^[1]。目前肝癌治疗仍然以外科手术切除或肝移植为主,但由于该病起病隐匿,多数患者确诊时已处于中晚期,而失去了手术治疗时机。因此,发现和鉴定可用于肝癌早期诊断的分子指标,对提高肝癌的早诊率和加强患者的预后有着重要的临床意义。

微小RNA(miRNA)是一类内源性非编码RNA,长度为18~25个核苷酸。近年来的研究表明其在多种肿

瘤中均与肿瘤发生、发展、复发、转移等密切相关,发挥着癌基因及抑癌基因的功能^[2-3]。miRNA作为新兴的生物标志物逐步受到研究者的关注,并且有望成为肿瘤诊断标志物及治疗的潜在靶点。

已有研究表明 miR-107 在多种实体肿瘤中异常表达,其异常表达与肿瘤的发生发展密切相关,并可作为判断不良预后的分子指标。但是,目前的研究表明,miR-107 在不同的肿瘤中发挥相反的作用。例如,在肾透明细胞癌中,miR-107 表达下调,发挥抑癌基因的作用,且与肿瘤的大小、侵袭、转移呈负相关^[4]。然而,在结肠癌中,其表达上调,发挥着癌基因的作用,且与肿瘤的不良预后呈正相关关系^[5]。由此推测,miR-107 发挥作用可能具有组织或肿瘤依赖性。在肝癌中 miR-107 的研究报道较少,因此,本研究拟探讨 miR-107 在肝癌组

收稿日期:2015-10-22

基金项目:国家自然科学基金(81172056,81372283)

Supported by National Natural Science Foundation of China (81172056, 81372283).

作者简介:肖芦山,硕士,E-mail: 15622178423@163.com

通信作者:刘莉,医学博士,教授,博导,E-mail: 18602062738@163.com

织中的表达及临床意义,并初步探讨 miR-107在肝癌中的作用机制。

1 资料和方法

1.1 样本收集

1.1.1 组织标本的来源 收集2009年9月~2012年10月在南方医科大学南方医院接受肝癌切除手术治疗的22例肝癌患者的肝癌及相应癌旁组织标本。收集南方医院病理科2005年9月~2010年8月石蜡包埋的53例肝癌组织标本。所有患者术前均未行放射、化疗及射频消融等治疗,且所有组织标本经术后病理学检查均证实为肝细胞性肝癌。

1.1.2 临床资料 石蜡包埋的53例患者中,男性41例,女性12例,年龄>55岁22例,年龄≤55岁31例。TNM分期为I~II期47例,III~IV期6例。肿瘤大小>5 cm 34例,肿瘤大小≤5 cm 19例。肝外转移3例,未转移50例。复发20例,无复发33例。

1.2 材料

人肝癌细胞株 Huh7 购自中国科学院上海细胞库;胎牛血清、高糖 DMEM 培养基、培养基购自 GIBCO;胰蛋白酶消化液购自吉诺公司;Lipofectamine RNAiMAX、TRIzol Reagent 购自 Invitrogen; SYBR® PrimeScript™ RT-PCR Kit (Perfect Real Time) 购自 TAKARA; miR-107 特异性引物、内参 U6 引物由上海英潍捷基公司合成; miR-107 模拟物 (mimics), AGCAGCAUUGUACAGGGCUAUAU, AUAGCCCUGUACAAUGCUGCUUU 及对应阴性对照 (negative control, nc), 序列: UUCUCCGAACGUGUCACGUT T、ACGUGACACGUUCGGAGAATT 和抑制剂 (inhibitor), 序列: UGAUAGCCCUGUACAAUGCUG CU, 对应阴性对照 (negative control, nc), 序列: CAGU ACUUUUGUGUAGUACAA 由上海吉玛公司合成;四氮唑蓝 (MTT) 粉末、二甲基亚砜 (DMSO) 购自 Sigma 公司。

1.3 方法

1.3.1 数据组 基因数据来源: TCGA 数据集 (TCGA cohort) 来源于 TCGA 数据库 (<https://tcga-data.nci.nih.gov/tcga/>), 数据包含 372 个肝癌组织样本及 50 个癌旁组织样本。GSE6857 数据集 (GSE6857 cohort)、GSE10694 数据集 (GSE10694 cohort)、GSE21362 数据集 (GSE21362 cohort) 来源于 GEO 数据库 (<http://www.Ncbi.Nlm.nih.gov/geo>)。GSE6857 数据集由 Xin Wei Wang 提交, 包括 241 对肝癌样本^[6]; GSE 10694 数据集由 Li W 提交, 包括 78 对肝癌样本及 10 例正常肝样本^[7]; GSE21362 数据集由 Akira Myomoto 提交, 包括 73 对肝癌样本^[8]。

1.3.2 细胞培养 人肝癌细胞株 Huh7 采用含 10% 胎牛血清的高糖 DMEM 培养基培养, 置于 37 °C、5% CO₂ 培

养箱内培养, 倒置显微镜下观察细胞生长情况, 2~3 d 用胰酶消化、传代培养, 取生长状态良好的细胞用于实验。

1.3.3 实时定量 RT-PCR (qRT-PCR) 按照说明书步骤用 Trizol 提取收集细胞、肝癌组织及癌旁组织中的总 RNA, 对 A₂₆₀/A₂₈₀ 在 1.8~2.0 之间的 RNA 标本进行逆转录, 利用 PrimeScript 逆转录 PCR (RT-PCR) 试剂盒将总 RNA 逆转录出 miR-107 和 U6 snRNA (作内参) 的 cDNA。我们用 SYBR Premix PCR 试剂盒按照说明书进行实时定量 PCR 实验, 所有实验重复 3 次。我们用 delta-CT 求基因相当表达量方法^[9]分析 miRNAs 的表达水平。

1.3.4 miR-107 mimics 和 inhibitor 的转染 按照说明书我们用 Lipofectamine RNAiMAX 转染试剂转染 miR-107 mimics 和 inhibitor 入肝癌细胞中。在转染 12 h 前先将细胞铺到 6 孔板中。每孔先将 50 pmol miR-107 mimics (inhibitor) 或阴性对照序列与 4 μL Lipofectamine RNAiMAX 分别加至 250 μL Opti-MEM 中孵育 5 min, 然后将两者轻轻混合, 室温孵育 20 min 后加入到各个孔中。在培养箱中培养 48 h 即可进行下一步实验。

1.3.5 细胞增殖实验 细胞增殖活力是根据四氮唑比色实验即 MTT 实验来测定。转染 24 h 后, 细胞分两组 (nc 组, inhibitor 和 mimics 组) 进行消化, 用 DMEM 培养基重悬制成单细胞悬液, 铺 96 孔板, 每孔 800 个细胞 96 孔板的左上孔设为空白孔, 只加培养基, 不加 MTT 及细胞, 用于设备调零, 每组设 6 个复孔。细胞贴壁后每天同一时间用一块板, 每孔加 20 μL 浓度为 5 mg/mL 的 MTT 试剂, 细胞再避光培养 4 h。然后去上清, 用 100 μL DMSO 溶甲瓞沉淀, 37 °C 振荡孵育 10 min。最后在酶标仪上测定各孔 490 nm 的吸光度 A 值。

1.4 统计分析

所有计量数据采用均数±标准差表示, 采用 SPSS20.0 统计软件进行分析, 样本均数的比较采用 Student's *t* 检验, 双侧 *P*<0.05 为差异有统计学意义。

2 结果

2.1 miR-107 在肝细胞癌组织中表达上调

TCGA 及 GEO 肝癌 microRNA 表达谱数据结果显示, miR-107 在肝细胞癌组织中表达显著高于其在癌旁组织中的表达 (*P*<0.05, 图 1)。22 对新鲜肝癌组织中 miR-107 表达的检测结果验证了以上数据库结果 (*P*<0.05, 图 2)。

2.2 miR-107 的表达水平与肝细胞癌患者的临床病理联系

研究发现在肝癌患者中, miR-107 表达水平与肿瘤的大小 (*P*=0.032) 呈正相关, 而与患者性别 (*P*=0.156)、年龄 (*P*=0.378)、肝硬化水平 (*P*=0.615)、甲胎蛋白水平 (*P*=0.279)、门静脉癌栓 (*P*=0.31)、巴塞罗那分期 (*P*=

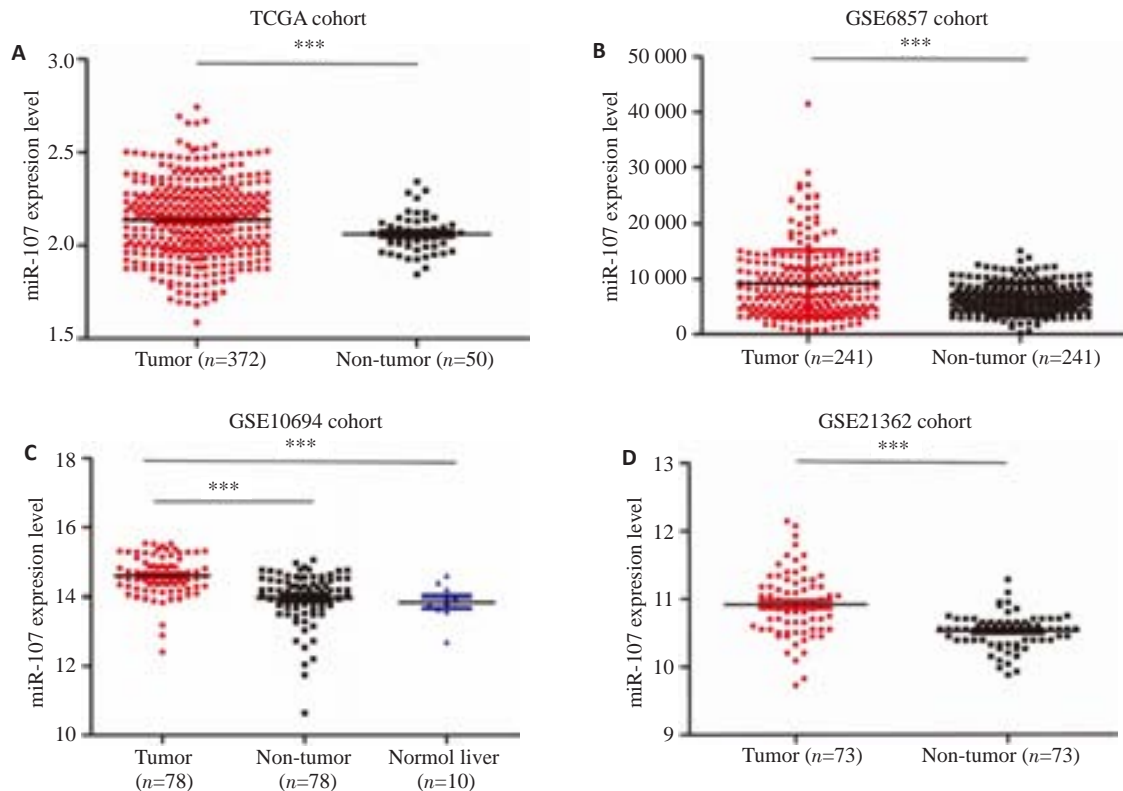


图1 miR-107 在数据库中肝细胞癌组织及癌旁组织中的表达水平比较

Fig.1 Expression levels of miR-107 in HCC tissues. A: miR-107 expression in TCGA cohort; B: miR-107 expression in GSE6857 cohort; C: miR-107 expression in GSE10694 cohort; D: miR-107 expression in GSE21362 cohort. *** $P < 0.001$ vs normal tissues.

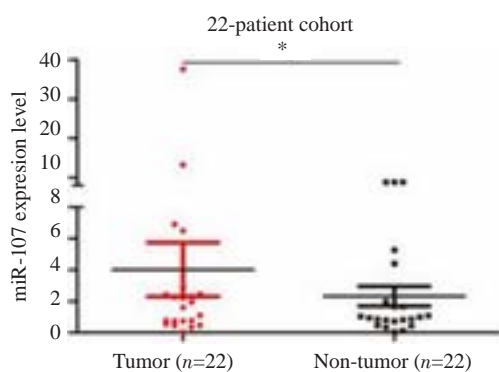


图2 miR-107 在肝细胞癌组织及对应癌旁组织中的表达水平比较

Fig.2 Expression Levels of miR-107 in 22 pairs of human HCC tissues and adjacent noncancerous tissues. * $P < 0.05$ vs normal tissues.

0.058)、肿瘤性质($P=0.607$)、是否复发($P=0.292$)、是否转移($P=0.982$)尚未发现有相关性(表1)。

2.3 miR-107 促进肝癌细胞增殖

用Huh7细胞过表达miR-107后,细胞增殖能力明显增强。相反,沉默miR-107后,细胞增殖能力明显减弱($P < 0.05$,图3)。

3 讨论

目前的研究表明,许多miRNA在肿瘤组织中表

达失调,并且呈现肿瘤组织特异性的表达方式。miRNA的这个特点为其在肿瘤的诊断和治疗的应用提供了新的途径。miR-107位于人类10号染色体,其在肿瘤中呈现过高或过低表达,发挥着癌基因和抑癌基因的作用。例如,其在结肠癌高表达,而在肾癌中低表达^[4-5]。因此,深入探讨miR-107在不同肿瘤中的作用有着非常重要的意义。本文主要探讨其在肝癌中的表达及初步探讨其作用机制。我们利用TCGA及GEO数据库中肝癌microRNA表达谱数据进行统计分析,结果提示miR-107在肝癌组织中高表达。提示异常表达的miR-107可能在肝癌中发挥着癌基因的作用。

本研究进一步利用qRT-PCR方法检测了22对新鲜肝癌及其对应的癌旁组织中miR-107的表达情况,也发现miR-107在肝癌组织中高表达,结果与之前数据库分析一致。为了更深入地探讨miR-107在肝癌中的临床意义,我们进一步分析了53例石蜡包埋的肝癌组织miR-107的表达水平与肝癌临床病理特征间的相关性,发现miR-107与肿瘤大小呈正相关。以上结果提示miR-107可能与肝癌细胞的增殖能力相关。为了证明这一点,我们选取肝癌细胞株Huh7细胞进行过表达和沉默后检测其增殖能力,结果表明miR-107可增强肝癌细胞增殖能力。这与Jun-Hong Hu等报道miR-107促进hepG2细胞增殖的结果相一致^[10],然而,贾振亚等曾

表1 肝癌组织中miR-107的表达与临床病理参数的关系
Tab.1 Correlation between miR-107 expression and clinicopathologic features of the HCC patients

Factor	MiR-107 expression levels		P
	High expression	Low expression	
Gender			
Male	25	16	0.156
Female	10	2	
Age (years)			
≤55	22	9	0.378
>55	13	9	
Edmondson grade			
I + II	31	16	0.973
III + IV	4	2	
Liver cirrhosis			
With	22	10	0.615
Without	13	8	
AFP (ng/mL)			
≤20	13	4	0.279
>20	22	14	
Portal vein tumor thrombus			
No	27	16	0.31
Yes	8	2	
No. tumor			
Solitary	27	15	0.607
Multiple	8	3	
Tumor size (cm)			
≤5	9	10	0.032*
>5	26	8	
BCLC stage			
A	20	15	0.058
B+C	15	3	
Relapse			0.292
Yes	15	5	
No	20	13	
Extrahepatic metastasis			0.982
Yes	2	1	
No	33	17	

Abbreviations: AFP, alpha-fetoprotein; BCLC, Barcelona Clinic Liver Cancer. *The values had statistically significant differences.

报miR-107可抑制hepG2细胞的增殖^[11]。本研究首先从临床分析中得到miR-107与肿瘤大小呈正相关,并且体外实验证实它具有促进增殖作用。我们猜测这可能是由于细胞生物学特性及下游靶基因的不同所致,也可能是贾振亚等的研究结果仅局限在细胞水平所致。

综上所述,本研究对TCGA及GEO数据集、新鲜肝癌标本、石蜡标本,肝癌细胞株等多个方面进行研究分析,发现miR-107可能是一个肝癌发生发展相关的基因。提示,miR-107可能成为肝癌治疗的新的靶点,也可能成为观察肝癌快速增殖的一个新指标。然而本文也存在一些不足,如样本量少,未进行体内实验以及未

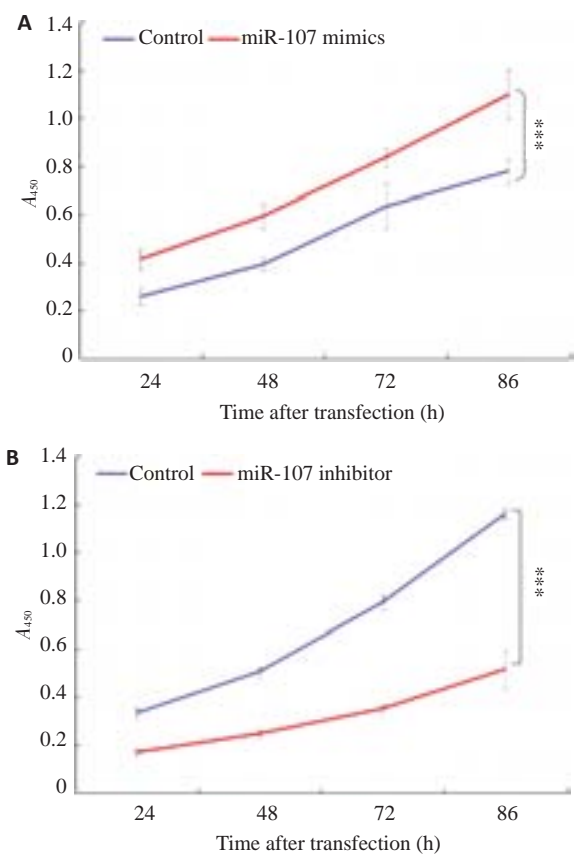


图3 上调(下调)miR-107 的表达促进(抑制)肝癌细胞的增殖
Fig.3 Transient transfection of miR-107 mimics (A) and inhibitor promoted and inhibited the cell proliferation of HCC cell line, respectively, shown by the results of MTT assay. Data are shown as Mean ± SD from 3 independent experiments. ***P<0.001 vs nc.

进行靶基因的探讨。我们下一步将采取加大样本量和体内动物实验的方法来深入探讨miR-107在HCC中的生物学作用、机制及临床意义。

参考文献:

[1] 中国抗癌协会肝癌专业委员会, 中国抗癌协会临床肿瘤学协作专业委员会. 中华医学会肝病学会肝癌学组. 原发性肝癌规范化诊治的专家共识[J]. 中华肝脏病杂志, 2009, 17(6): 403-10.

[2] Sayed D, Abdellatif M. Micrnas in development and disease[J]. Physiol Rev, 2011, 91(3): 827-87.

[3] Farazi TA, Hoell JI, Morozov P, et al. MicroRNAs in human cancer [J]. Adv Exp Med Biol, 2013, 774(4): 1-20.

[4] Song N, Ma X, Li H, et al. microRNA-107 functions as a candidate tumor suppressor gene in renal clear cell carcinoma involving multiple genes[J]. Urol Oncol, 2015, 33(5): 205. e1-11.

[5] Chen HY, Lin YM, Chung HC, et al. miR-103/107 promote metastasis of colorectal cancer by targeting the metastasis suppressors DAPK and KLF4 [J]. Cancer Res, 2012, 72(14): 3631-41.

[6] Budhu A, Roessler S, Zhao X, et al. Integrated metabolite and gene expression profiles identify lipid biomarkers associated with

- progression of hepatocellular carcinoma and patient outcomes [J]. *Gastroenterology*, 2013, 144(5): 1066-1075. e1.
- [7] Li W, Xie L, He X, et al. Diagnostic and prognostic implications of microRNAs in human hepatocellular carcinoma [J]. *Int J Cancer*, 2008, 123(7): 1616-22.
- [8] Sato F, Hatano E, Kitamura K, et al. MicroRNA profile predicts recurrence after resection in patients with hepatocellular carcinoma within the Milan Criteria [J]. *PLoS One*, 2011, 6(1): e16435.
- [9] Livak KJ, Schmittgen TD. Analysis of relative gene expression data using real-time quantitative PCR and the 2(-Delta Delta C(T)) Method [J]. *Methods*, 2001, 25(4): 402-8.
- [10] Zhang JJ, Wang CY, Hua L, et al. miR-107 promotes hepatocellular carcinoma cell proliferation by targeting Axin2 [J]. *Int J Clin Exp Pathol*, 2015, 8(5): 5168-74.
- [11] 贾振亚, 曹 静, 范文洁, 等. miR-107对HepG2细胞增殖和细胞周期的影响 [J]. *安徽医科大学学报*, 2014(10): 1400-3, 1404.
- (编辑:孙昌朋)

(上接973页)

- [6] Korreman S, Persson G, Nygaard D, et al. Respiration-correlated image guidance is the most important radiotherapy motion management strategy for most lung cancer patients [J]. *Int J Radiat Oncol Biol Phys*, 2012, 83(4): 1338-43.
- [7] Kipritidis J, Hugo G, Weiss E, et al. Measuring interfraction and intrafraction lung function changes during radiation therapy using four-dimensional cone beam CT ventilation imaging [J]. *Med Phys*, 2015, 42(3): 1255-67.
- [8] Sonke J, Wolthaus J, Rossi M, et al. Four dimensional cone beam CT for verification of radiotherapy for lung cancer [J]. *Lung Cancer*, 2005, 49(2): S52.
- [9] Brehm M, Berkus T, Oehlhafen M, et al. Motion-Compensated 4D Cone-Beam computed tomography [C]//2011 IEEE NUCLEAR SCIENCE SYMPOSIUM AND MEDICAL IMAGING CONFERENCE (NSS/MIC), 2011: 3986-93.
- [10] Brehm M, Paysan P, Oehlhafen M, et al. Artifact-resistant motion estimation with a patient-specific artifact model for motion-compensated cone-beam CT [J]. *Med Phys*, 2013, 40(10): 101913.
- [11] Sidky EY, Pan X. Image Reconstruction in circular cone-beam computed tomography by constrained, total-variation minimization [J]. *Phys Med Biol*, 2008, 53(17): 4777-807.
- [12] Zhang H, Ouyang L, Huang J, et al. Few-view cone-beam CT Reconstruction with deformed prior image [J]. *Med Phys*, 2014, 41(12): 121905.
- [13] Leng S, Tang J, Zambelli J, et al. High temporal resolution and streak-free four-dimensional cone-beam computed tomography [J]. *Phys Med Biol*, 2008, 53(20): 5653-73.
- [14] Zhang Y, Tong X, Yang T, et al. Multi-model estimation based moving object detection for aerial video [J]. *Sensors (Basel)*, 2015, 15(4): 8214-31.
- [15] Bonettini S, Prato M. A new general framework for gradient projection methods [J]. *Eprint Arxiv*, 2014, 1406, 6601.
- [16] Rit S, Oliva I, Vila M, Brousmiche S, et al. The Reconstruction Toolkit (RTK), an open-source cone-beam CT reconstruction toolkit based on the Insight Toolkit (ITK) [C]. *J Physics: Conf Series*, 2014, 489, 012079.
- [17] Alasti H, Cho YB, Vandermeer AD, et al. A novel four-dimensional radiotherapy method for lung cancer: imaging, treatment planning and delivery [J]. *Phys Med Biol*, 2006, 51(12): 3251-67.
- [18] Sonke J, Zijp L, Remeijer P and Herk M. respiratory correlated cone beam CT [J]. *Med Phys*, 2005, 32(4): 1176-86.
- (编辑:经 媛)